



کنترل سرعت و کاهش ریپل گشتاور موتور سویچ رلوکتانس مبتنی بر کنترل کننده بهینه مدل لغزشی و ساختار آبشاری

محمد جواد شکاری^۱، محمد فرخی^۲، داود عرب خابوری^۳

^۱ دانشجوی کارشناسی ارشد مهندسی برق، گروه کنترل، دانشگاه علم و صنعت ایران، m_shekari@elec.iust.ac.ir

^۲ استاد، دانشکده مهندسی برق، گروه کنترل و قطب علمی مدلسازی و کنترل سیستم‌های پیچیده، دانشگاه علم و صنعت ایران، farrokhi@iust.ac.ir

^۳ دانشیار، دانشکده مهندسی برق، گروه قدرت، دانشگاه علم و صنعت ایران، khaburi@iust.ac.ir

پذیرش: ۱۳۹۹/۰۱/۳۰

ویرایش: ۱۳۹۸/۱۰/۰۴

دریافت: ۱۳۹۸/۰۳/۲۴

چکیده: گسترش روزافزون اتو ماسیون، سبب ورود موتورهای الکترونیکی به صنایع شده است به گونه‌ای که نیروی محرکه بسیاری از ابزارها از موتورهای الکترونیکی دریافت می‌شود. موتور سویچ رلوکتانس، به عنوان نوعی از موتورهای سنکرون، با مزیت‌های فراوان خود، توانایی جایگزین شدن با موتورهای قدیمی را دارد و مشکلات آن‌ها را برطرف می‌کند. اگرچه کنترل این موتور به دلیل ذات غیرخطی و متغیر با زمانش، و همچنین وجود عدم قطعیت‌های آن، امری بسیار دشوار است. در این مقاله با استفاده از کنترل کننده مدل لغزشی بهینه، کنترل سرعت این موتور انجام گرفته است. با استفاده از ساختار آبشاری، بزرگترین عیوب این موتور یعنی ریپل گشتاور کاهش پیدا کرده است. کنترل کننده پیشنهادی، با تبدیل مساله کنترل مدل لغزشی مرتباً اول به مساله بهینه سازی و با حل بی‌درنگ آن با شبکه عصبی بازگشتی تصویر، سیگنال کنترلی بهینه ای تولید کرده که چتربانگ ناشانه و در عین حال شرط لغزش را برآورده می‌کند. عملکرد کنترل کننده پیشنهادی در مقایسه با سایر کنترل کننده‌ها در قالب شیوه‌سازی صورت گرفته و اثربخشی آن نشان داده شده است.

کلمات کلیدی: موتور سویچ رلوکتانس، شبکه عصبی بازگشتی تصویر، کنترل کننده بهینه لغزشی.

Speed Control and Torque Ripple Reduction of Switched Reluctance Motors based on Cascade Loops and Optimal Sliding-mode Controller

Mohammad Javad Shekari, Mohammad Farrokhi, Davood Arab Khaburi

Abstract: The ever-increasing expansion of automation has led to increasing the use of electric motors that makes the main horse power of many instruments. The Switched Reluctance Motor (SRM), as a kind of synchronous motors, has many advantages and can be used instead of other motors to eliminate their problems. However, speed control of this motor is very difficult due to nonlinearities, time variant, and uncertainties. In this article, the speed control of SRM is considered by using an optimal sliding-mode controller. Using the cascade structure, the biggest defect in the SRM (i.e., the torque ripple) is reduced. By converting the first-order sliding-mode control problem to an optimization problem, and solving it in real time using projection recurrent neural network, the proposed controller produces an optimal control signal that does not have chattering, but satisfies the sliding condition. Evaluation of The proposed controller with other controller is carried out by simulation and its effectiveness is shown.

Keywords: Switched Reluctance Motor, Projection Recurrent Neural Network, Optimal Sliding Mode Controller

۱- مقدمه

کنترل کننده می‌تواند با یک سیستم فازی دیگر صورت گیرد که معایبی چون حجم محاسبات بالا دارد. پژوهشگران در [۸] با ارایه روشی ساده قانون کلیدزنی بین این دو کنترل کننده را ایجاد می‌کنند که بار محاسباتی بسیار کمی دارد.

در [۹]، کنترل کننده فازی PID طراحی شده است که توسط شبکه استنتاج فازی به صورت برخط آموزش می‌بیند. آموزش برخط مشکلات آموزش قطع خط نظری نیازمند بودن به حجم عظیم داده‌ها و مدت زمان طولانی آموزش را برطرف می‌کند.

در [۲]، طراحی و کنترل سرعت موتور سویچ رلوکتانس ۴/۲ به صورت تک فاز و دوفاز صورت گرفته است. هدف محققین، استفاده از این موتور و روش کنترلی پیشنهادی به جای موتورهای رایج یونیورسال در مخلوط کن‌ها بوده است. در [۱۰]، کنترل کننده فازی برای کنترل سرعت موتور سویچ رلوکتانس طراحی شده که توانایی کار در تمامی بازه‌های سرعت را دارد. در [۱۱]، کنترل کننده یک پارچه‌ای جهت کنترل سرعت موتور سویچ رلوکتانس در تمامی سرعت‌ها ارایه شده است. در سرعت‌های پایین و میانی با استفاده از تابع اشتراک گشتاور^۵ (TSF)، کاهش ریل گشتاور را به وجود آورده‌اند و در سرعت‌های بالا حداقل توان ممکن را با استفاده از عملکرد تک پالس ایجاد کرده‌اند. در [۱۲]، کنترل گشتاور موتور سویچ رلوکتانس با استفاده از فیدبک خطی ساز و جبران کننده نیروی الکتریکی بازگشته^۶ (BEMF) صورت گرفته است. در این پژوهش با استفاده از خطی سازی جریان و موقعیت زاویه‌ای بازگشته و همچنین با استفاده از جبران ساز مطرح شده، امکان کنترل سرعت موتور را با استفاده از کنترل کننده‌های خطی را به وجود می‌آورند. مرجع [۱۳] جهت کاهش ریل گشتاور ذاتی در موتور سویچ رلوکتانس، روش کنترل گشتاور مستقیم^۷ (DTC) جدیدی را پیشنهاد می‌دهد که برخلاف روش‌های سنتی DTC، به حلقه کنترل شار نیاز ندارد. معرفی یک مدل قدرت پل نامتنازن شده است. معادلات غیرخطی و نامتغیر با زمان، وجود نامعینی‌ها و ناشناختی‌های مدل موتور سویچ رلوکتانس، کنترل سرعت این موتور را به امری دشوار تبدیل کرده است. کنترل کننده مدل لغزشی، روشی مقاوم در مقابله با موارد ذکر شده می‌باشد که بدليل معايي چون چتريينگ در سيگنال کنترلي و بهره بالاي اين کنترل کننده کمتر مورد توجه قرار گرفته است. استفاده از تابع اشباع و تاثيرات هيبوليک به جای تابع علامت [۱۵]

و [۱۶]، تقریب تابع کلیدزنی با استفاده از منطق فازی [۱۷] از جمله تحقیقاتی است که درخصوص حذف پدیده چتريينگ در این کنترل کننده صورت گرفته است. کنترل کننده هوشمند لغزشی [۱۸] با تبدیل مساله کنترل لغزشی به مساله بهینه‌سازی و حل بی‌درنگ آن توسط شبکه بازگشته مبتنی بر نظریه تصویری، یکی از تحقیقات انجام شده در زمینه

موتور سویچ رلوکتانس نوعی موتور سنکرون است که با استفاده از تمایل قرار گرفتن روتور آهنی آن در ناحیه‌ای که حداقل رلوکتانس ممکن به آن اعمال شود، حرکت دوارنی به وجود می‌آورد [۱]. این موتور، به دلیل ساختار منحصر به‌فردی چون بر جسته‌بودن قطب‌های روتور و استاتور، عدم وجود مواد مغناطیسی در ساخت آن و عدم وجود سیم پیچ بر روی روتور، دارای مزایای ویژه‌ای از قبیل گشتاور راهاندازی بالا، اتفاق حرارتی کمتر، هزینه ساخت و نگهداری پایین، قابلیت کارکردن در حالت وقوع خطا و خنک‌سازی ساده می‌باشد [۲]. از این‌رو، این موتور توانایی کارکردن در محیط‌های به‌شدت نویزی با دمای بالا و وجود ضربات شدید را دارد و این امر آن را محبوب بخش‌های مختلف صنعتی کرده است. به دلیل دو عیب بزرگ، ریل گشتاور و نویز صوتی این موتور همچنان جایگاه واقعی خود را در صنعت پیدا نکرده است. ذات غیرخطی و وجود عدم قطعیت‌های پارامتری در این موتور، کنترل سرعت آن را دشوار کرده و تحقیقات روز دنیا در برطرف کردن این دو مشکل برای کنترل سرعت موتور با استفاده از روش‌های مختلف هستند. کنترل کننده مدل لغزشی، روشی مقاوم در برخورد با سیستم‌های غیرخطی با عدم قطعیت‌های پارامتری و ناپارامتری می‌باشد. این کنترل کننده بدليل معايي چون وجود پدیده چتريينگ در سيگنال کنترلي و بالا بودن بهره کنترلي آن، در بسیاری از کاربردها کنار گذاشته شده است.

در [۳]، با استفاده از یک مدل محاسباتی کوچک کنترل کننده هوشمند مبتنی بر یادگیری عاطفی (BELBIC)^۱، برای کنترل سرعت موتور سویچ رلوکتانس ارایه شده است. در [۴] نیز این کنترل کننده در مساله کنترل سرعت موتور سنکرون مغناطیس دائم، در دو حالت با و بدون سنسور به کار رفته است. یکی از متداول‌ترین روش‌های کنترل سرعت و کاهش ریل گشتاور در موتورهای، استفاده از دو حلقه کنترلی سرعت و جریان است که به صورت آبشاری به‌يكديگر متصل می‌شوند. در [۵] و [۶]، ساختار ذکر شده جهت کنترل سرعت موتور سویچ رلوکتانس به کاربرده شده است. کنترل کننده موجود در هر حلقه از نوع PI بوده که در آن ضرایب کنترل‌هایها و زوایای روش و خاموش‌شدن توسط NSGA-II^۲، جستجوی گرانشی (GSA)^۳ و بهینه‌سازی از دحام ارتباط (MOL)^۴ تنظیم می‌شود. در [۷]، با استفاده از ترکیب کنترل کننده فازی و PI عملکرد پاسخ سرعت موتور سنکرون را در حالت گذار و ماندگار بهبود بخشیده‌اند. کنترل کننده فازی پاسخ گذاري مناسبی تولید کرده در حالی که کنترل کننده PI پاسخ ماندگار مناسبی ایجاد می‌کند. براین اساس، ترکیب این دو کنترل کننده به‌این صورت که در حالت گذار کنترل کننده فازی فعال باشد و در حالت ماندگار کنترل کننده PI. ترکیب شدن این دو

^۵ Torque Sharing Function

^۶ Back Electromotive Force

^۷ DTC

^۱ Brain Emotional Learning Based Intelligent Controller

^۲ Nondominated Sorting Genetic Algorithm-II

^۳ Gravitational Search Algorithm

^۴ Many Optimizing Liaison

گشتاور را کاهش می‌دهند، درحالی که در روش پیشنهادی این مقاله، تنها با کنارهم قرار دادن دوحلقه کنترلی اثربخش وارانه یک ساختار کنترلی ساده و کم هزینه، کنترل سرعت و کاهش ریل گشتاور، و همچنین بهینگی سیگنال کنترلی فرآهن آمده است.

در ادامه این مقاله، ابتدا در بخش دوم مدل موتور تشریح می‌شود و سپس در بخش سوم ساختار پیشنهادی معروفی می‌شود، طراحی کنترل کننده‌ها سرعت و بررسی پایداری حلقه‌بسته می‌پردازد نیز در این بخش صورت می‌گیرد و در نهایت نتایج شبیه‌سازی و تحلیل آنها در بخش چهارم ارایه می‌شود. همچنین نتیجه گیری به عنوان آخرین بخش در بخش این مقاله رایه خواهد شد.

۲- معرفی مدل موتور سویچ رلوکتانس

موتور سویچ رلوکتانس شامل دو دسته معادله است، معادله مکانیکی که چرخش روتور را در بردارد و معادله الکتریکی که تغییرات جریان سیم پیچ‌هارا به وجود می‌آورد و باعث ایجاد چرخش در موتور می‌شود. معادله مکانیکی عبارت است از

$$j\dot{\omega} = -B\omega + T_e(\theta, i) - T_l \quad (1)$$

که در آن j اینرسی روتور، B اصطکاک، T_l گشتاور بار i جریان، ω سرعت، $\dot{\omega}$ تغییرات سرعت و $T_e(\theta, i)$ گشتاور تولید شده موتور است. معادله الکتریکی موتور برابر است با

$$L(\theta, i) \frac{di}{dt} = v - R_s i - \frac{dL(\theta, i)}{d\theta} \omega i \quad (2)$$

که در آن θ زاویه قطب روتور نسبت به استاتور، R_s مقاومت سیم پیچ موتور، $L(\theta, i)$ اندوکتانس، v جریان موتور و R_s ولتاژ اعمالی به فاز موتور می‌باشد. همچنین گشتاور تولیدی موتور (T_e) از رابطه زیر محاسبه می‌گردد:

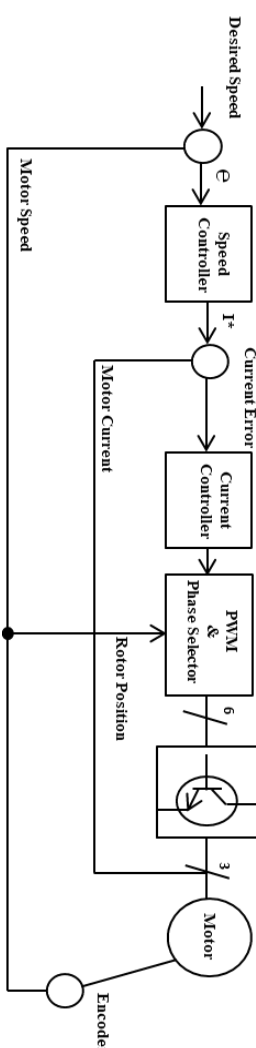
$$T_e = \frac{1}{2j} \frac{dl(\theta, i)}{d\theta} i^2 \quad (3)$$

اندوکتانس موتور $L(\theta, i)$ وابسته به موقعیت قطب‌های روتور نسبت به قطب‌های استاتور است که در بین دو مقدار حداقلی و حداقلی خود تغییر می‌کند. شکل ۱ نشان‌دهنده تغییرات اندوکتانس نسبت به زاویه روتور بدون درنظر گرفتن اثر جریان می‌باشد. برای ایجاد حرکت پیوسته در این موتور، لازم است که تمامی فازهای موتور در زوایایی که شبیه اندوکتانس مثبت است (یا همگنی منفی است) فعال شوند و سیگنال کنترلی به آنها اعمال شود.

حذف چتربنگ کنترل کننده لغزشی و مقید کردن آن است. مرجع [۱۹] دو روش برای کنترل سرعت موتور سویچ رلوکتانس براساس روش کلیدزنی حالت ارایه داده است. موضوع روش کلیدزنی حالت، کنترل حالت‌های موتور در زمان پاسخ ماندگار با استفاده از پالس‌های انرژی و قطع آن است. در ادامه این مقاله، با ترکیب روش کلیدزنی حالت با کنترل کننده مدل لغزشی، روش کنترلی برای کنترل سرعت موتور ارایه می‌شود.

در [۲۰]، کنترل کننده سرعت جدیدی برای کنترل سرعت موتور سویچ رلوکتانس مبتنی بر کنترل مدل لغزشی ارایه شده است که در مقابل عدم قطعیت پارامترها و اختشاش خارجی با مقاوم بوده. در این روش، بهره سطح لغزش، توسط منطق فازی مشخص می‌گردد. برای به دست آوردن عملکرد بهینه موتور سویچ رلوکتانس در گستره وسیعی از سرعت‌ها، مساله بهینه‌سازی چندهدفه برای موتور سویچ رلوکتانس تعریف می‌گردد [۲۱]. هدف این بهینه‌سازی، به دست آوردن حداکثر گشتاور توامان با حداقل اتلاف و ریل گشتاور است. در این مرجع، با پیدا کردن مقدار بهینه زوایای آتش و خاموش فازها، عملکرد موردنظر را به دست می‌آورند. در [۲۲]، کنترل کننده فازی-تansی-مشتقی برای کنترل دقیق گشتاور موتور سویچ رلوکتانس تشریح شده است. با استفاده از منطق فازی وتابع توزیع گشتاور، ریل گشتاور در روش پیشنهادی این پژوهش کاهش یافته است. در [۲۳]، کنترل کننده تطبیقی لغزشی برای موتور سویچ رلوکتانس ارائه شده است. در این مرجع، با استفاده از یک سیستم فازی نوع ۲، مدل موتور تقریب زده می‌شود و با استفاده از سطح لغزشی انتگرالی، کنترل کننده تطبیقی حاصل می‌گردد. بدليل استقلال سطح لغزش از قوانین فازی، سرعت پردازش در این روش به شدت کاهش می‌یابد.

در این مقاله با ارایه یک ساختار کنترلی ساده، کنترل سرعت موتور سویچ رلوکتانس و کاهش ریل گشتاور آن فراهم می‌شود در حالی که ساختار فیزیکی موتور، کلیدهای قدرت آن و زوایای روشن و خاموش فازها، بدون تغییر و مشابه با روش‌های معمول می‌باشد و نیازی به استفاده از روش‌های پیچیده‌ای چون تابع توزیع گشتاور وجود ندارد. در این ساختار از دوحلقه کنترلی سرعت و جریان که به صورت آبشاری به یکدیگر متصل شده‌اند، استفاده است. حلقه جریان از نوع PI بوده و وظیفه کاهش ریل را با ثابت نگهداشتن سطح جریان، بر عهده دارد، در حالی که کنترل کننده سرعت براساس خطای سرعت، جریان مطلوب را ایجاد می‌کند. کنترل کننده سرعت، از نوع کنترل مدل‌لغزشی بهینه می‌باشد که روش کنترلی مقاومی است و با استفاده از شبکه عصبی بازگشتی تصویر و تبدیل مساله طراحی کنترل کننده به مساله بهینه‌سازی، معایب موجود در کنترل کننده مدل لغزشی را برطرف می‌کند. نتایج شبیه‌سازی نشان‌دهنده اثر بخش بودن روش پیشنهادی با مقایسه با روش‌های کلاسیکی چون PI و SMC و روش نوین کلیدزنی - حالت توسعه یافته شده ارایه شده در [۱۹]، است. برخلاف بسیاری از تحقیقات گذشته که با شکل دھی نحوه اعمال جریان به فازهای موتور که امری بسیار پیچیده و پرهزینه است، ریل

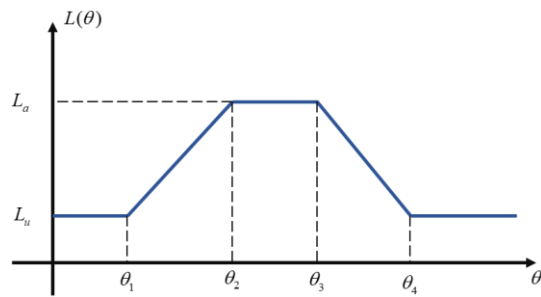


شکل ۲: دیاگرام کنترلی پیشنهادی

سیستم مورد نظر دارای یک تابع غیرخطی (گشتاور موتور) در عبارت ورودی می‌باشد. با سط دادن جریان حول یک جریان اولیه و ثابت i_0 ، و با درنظر نگرفتن جملاتی با درجه بالا، عبارت گشتاور خطی سازی می‌گردد. در این حالت رابطه گشتاور به صورت زیر ساده می‌شود

$$T_e = \frac{i_0}{j} \frac{dL(\theta, i)}{d\theta} i + \frac{1}{j} \frac{dL(\theta, i)}{d\theta} \frac{B}{2} = \gamma i(t) + d(t) \quad (5)$$

که در آن i_0 ، γ همگی ثابت و محدود هستند، از این رو حدود ضریب جریان، در این رابطه خطی قابل محاسبه می‌باشد، این در حالی است که $d(t)$ را به عنوان اختشاش در نظر می‌گیریم. برای این منظور، بدون در نظر گرفتن اثر جریان و اشباع هسته آهنی بر اندوکتانس موتور می‌توان تغییرات اندوکتانس را ثابت و برابر با میانگین اندوکتانس هم راستا و ناهم راستا دانست در نظر گرفت. بنابراین کران بالای γ براساس پارامترهای موتور و حداکثر جریان مجاز اعمالی به موتور قابل محاسبه



شکل ۱: رابطه اندوکتانس با زاویه روتور [۱]

۳- معرفی ساختار پیشنهادی چندحلقه

ساختار پیشنهادی شامل دو حلقه کنترلی سطح بالا و سطح پایین، برای کنترل سرعت و کنترل جریان است و در شکل ۲ نشان داده شده است. براساس این ساختار تنها از مدل مکانیکی موقعیت - سرعت، برای طراحی کنترل کننده سرعت استفاده می‌شود و حلقه داخلی وظیفه کنترل دینامیک الکتریکی موتور یا همان معادله ولتاژ-جریان را بر عهده دارد. حلقه کنترل سرعت، با تنظیم جریان موتور، سرعت موتور را در سطح مقدار مطلوب نگه می‌دارد و مانع از ایجاد ریل گشتاور می‌شود. کنترل کننده داخلی براساس سیگنال مرجع جریان و نوسانات جریان بازخوردی ناشی از تغییر فازهای، ولتاژ موتور را به گونه‌ای تنظیم می‌کند که مجموع جریان فازهای موتور ثابت و بدون تغییر باقی بماند، این امر منجر به کاهش ریل گشتاور می‌شود.

نقش کنترل کننده سرعت در ساختار پیشنهادی، بسیار مهم است. سیگنال جریان مرجع تولید شده باید به گونه‌ای باشد که حلقه داخلی بتواند آنرا دنبال کند. همچنین نسبت به نامعینی‌ها و غیرخطی گری‌های سیستم مقاوم باشد. از این‌رو برای طراحی کنترل کننده سرعت، کنترل کننده بهینه لغزشی ارایه شده در [۱۸] پیشنهاد می‌شود که متناسب به مساله کنترل موتور تبیین می‌گردد. بهینگی سیگنال کنترلی، نبود چترینگ در سیگنال کنترلی و مقاوم بودن از مزایای این کنترل کننده به حساب می‌آید. استفاده از این کنترل کننده در ساختار کنترل سرعت موتور سویچ‌رلو کتانس می‌تواند روش حاضر را به رو شی ارزشمند برای کاربردهای صنعتی تبدیل کند.

۱-۳- طراحی کنترل کننده سرعت

کنترل کننده سرعت براساس معادله مکانیکی موقعیت - سرعت موتور طراحی شده و ولتاژ موتور توسط کنترل کننده داخلی تولید می‌گردد. بنابراین جریان موتور به عنوان ورودی و گشتاور بار به صورت اغتشاش در نظر گرفته شده است. نمایش فضایی حالت مدل موتور به صورت زیر می‌باشد:

$$\begin{bmatrix} \dot{\theta} \\ \dot{\omega} \end{bmatrix} = \begin{bmatrix} 0 & 1 \\ 0 & -\frac{B}{j} \end{bmatrix} \begin{bmatrix} \theta \\ \omega \end{bmatrix} + \begin{bmatrix} 0 \\ \frac{1}{2j} \frac{dL(\theta, i)}{d\theta} i^2 \end{bmatrix} + \begin{bmatrix} 0 \\ -\frac{1}{j} T_i \end{bmatrix} \quad (4)$$

$$y = [1 \ 0] \begin{bmatrix} \theta \\ \omega \end{bmatrix}$$

که در آن $p(t)$ و $q(t)$ مقادیر مثبت غیر صفر هستند که نقش بسیار مهمی را در پایداری حلقه بسته سیستم ایفا می‌کنند. تابع هزینه مشکل از دو بخش حداقل ساز سیگنال کنترلی، و صفر کننده دینامیک سطح لغزش است. با جایگذاری (۱۱) در (۱۲) و انجام کمی محاسبات ریاضی و مرتب سازی آن، معادله (۱۲) منجر به مساله بهینه سازی QP^۱ مبتنی بر متغیر بهینه ساز سیگنال کنترلی، به صورت زیر می‌شود:

$$J_{QP} = \frac{1}{2} \mathbf{W}(t) u^2(t) + h(\mathbf{x}, t) u(t) \quad (13)$$

که در آن

$$\begin{aligned} W(t) &= q(t)(\mathbf{CAB})^2 + p(t) \\ h(\mathbf{x}, t) &= q(t)(\mathbf{CAB})[\mathbf{CA}^2 \mathbf{x}(t) - \ddot{\mathbf{y}}_d + \lambda_1 \dot{e}(t) + \lambda_2 e(t) + \alpha(t) S(\mathbf{x}, t)] \end{aligned} \quad (13)$$

متغیر بهینه ساز، جریان موتور است و با پارامتر $u(t)$ نشان داده می‌شود که باید در کرانهای $u_{\min} \leq u \leq u_{\max}$ صدق کند که در آن u_{\min} و u_{\max} به ترتیب کمینه و بیشینه جریان مجاز اعمالی به موتور است. یکی از چالش‌های بزرگ حل مساله بهینه سازی، زمان انجام محاسبات و رسیدن به پاسخ بهینه است. شبکه عصبی تصویر می‌تواند این مهم را فراهم کند. از جمله مزایای استفاده از شبکه عصبی بازگشته مبتنی بر نظریه تصویر برای مساله بهینه سازی، می‌توان به صورت زیر اشاره کرد:

- عدم نیاز به وارون ماتریس ورودی و یا وارون مجازی آن
- تعداد سلول‌های شبکه برابر است با تعداد متغیرهای بهینه ساز مساله
- ساختار ساده و پیاده‌سازی آسان با استفاده از ابزارهای الکترونیکی ابتدایی

در این مقاله، برای حل بی‌درنگ مساله بهینه سازی، از شبکه عصبی بازگشته مبتنی بر نظریه تصویر (PRNN)^۲ استفاده می‌شود. معادله دینامیکی و همچنین معادله خروجی این شبکه عبارت است از [۲۴]

$$\begin{aligned} \frac{dX(t)}{dt} &= -u(t) + \Pr_{\Omega}(u(t) - \mathbf{X}(t)) \\ u(t) &= \mathbf{W}^{-1}(t)(\mathbf{X}(t) - h(\mathbf{x}, t)) \end{aligned} \quad (14)$$

که در آن $\mathbf{X}(t)$ ضریب آموخت شبکه PRNN می‌باشد. متغیرهای حالات شبکه عصبی با بردار $\mathbf{X}(t)$ نشان داده می‌شوند که در صورت همگرایی $u(t)$ به نقطه‌ی بهینه همگرا خواهد شد. خروجی شبکه عصبی $(u(t) - X(t))$ نامگذری شده که وابسته به متغیرهای حالات شبکه و متغیرهای حالات اصلی سیستم می‌باشد. $\Pr_{\Omega}(u(t) - X(t))$ یا نگر اپراتور تصویر می‌باشد، که به صورت زیر تعریف می‌گردد:

$$g(X) = \begin{cases} X_{\max} & \text{if } X_{\max} \leq X \\ X & \text{if } X_{\min} \leq X \leq X_{\max} \\ X_{\min} & \text{if } X \leq X_{\min} \end{cases} \quad (15)$$

است. مدل خطی نامتغیر با زمان حاصل شده برای سیستم به صورت زیر است

$$\begin{aligned} \begin{bmatrix} \dot{\theta} \\ \dot{\omega} \end{bmatrix} &= \begin{bmatrix} 0 & 1 \\ 0 & -\frac{B}{j} \end{bmatrix} \begin{bmatrix} \theta \\ \omega \end{bmatrix} + \begin{bmatrix} 0 \\ \gamma \end{bmatrix} i + \begin{bmatrix} 0 \\ 1 \end{bmatrix} D \\ y &= [1 \quad 0] \begin{bmatrix} \theta \\ \omega \end{bmatrix} \end{aligned} \quad (6)$$

که در آن i ورودی سیستم و $D = d(t) - \frac{1}{j} T_l$ اغتشاش وارد D بر سیستم و عدم قطعیت‌های آن است. با توجه به پارامترهای تشکیل دهنده D می‌توان نشان داد که این مقدار محدود است

$$|d(t) - \frac{1}{j} T_l| \leq |d(t)| + |\frac{T_l}{j}| \quad (7)$$

که در آن $|\frac{T_l}{j}|$ با توجه به ماهیت فیزیکی آن، محدود است و حدود $d(t)$ را به صورت زیر می‌توان نشان داد

$$|d(t)| = \left| \frac{1}{j} \frac{dL(\theta, i)}{d\theta} \frac{B}{2} \right| \leq \left| \frac{1}{j} \right| \left| \frac{dL(\theta, i)}{d\theta} \right| \left| \frac{(i^2 - 2i_0 i)}{2} \right| \quad (8)$$

که در آن با توجه به محدود بودن جریان در فضای کاری مورد بحث، عبارت B نیز محدود خواهد بود. جهت طراحی کنترل کننده لغزشی، سطح لغزش را مبتنی بر درجه نسبی سیستم، به صورت زیر در نظر گرفته می‌شود:

$$S(\mathbf{x}, y) = \dot{e}(t) + \lambda_1 e(t) + \lambda_2 \int_0^t e(\tau) d\tau \quad (9)$$

که در آن $\dot{e}(t) = \omega - \omega_d$ و $e(t) = \theta - \theta_d$ به ترتیب خطای موقعیت و سرعت موتور است. همچنین λ_1 و λ_2 ظرایب مثبت و غیر صفر هستند. مشتق زمانی سطح لغزش به صورت زیر می‌باشد.

$$\dot{S}(\mathbf{x}, t) = \ddot{e}(t) + \lambda_1 \dot{e}(t) + \lambda_2 e(t) \quad (10)$$

با توجه به درجه نسبی سیستم که $\mathbf{CB} = 0$ را ایجاد می‌کند، مشتق سطح لغزش به صورت زیر بازنویسی می‌گردد

$$\dot{S}(\mathbf{x}, t) = \mathbf{CA}^2 \mathbf{x}(t) + \mathbf{CAB} u(t) - \ddot{\mathbf{y}}_d + \lambda_1 \dot{e}(t) + \lambda_2 e(t) \quad (11)$$

که در آن ماتریس‌های \mathbf{C} ، \mathbf{A} و \mathbf{B} ماتریس‌های سیستم هستند، $(\mathbf{y}(t))$ جریان موتور و $(\mathbf{x}(t))$ حالات موتور، مشکل از موقعیت و سرعت موتور می‌باشد. برای بدست آوردن سیگنال کنترلی مبتنی بر کنترل کننده مد لغزشی به گونه‌ای که پدیده چتربینگ در آن ظاهر نشود و سیگنال کنترلی تولید شده مقید و بهینه باشد، براساس [۱۸] تابع هزینه زیر جهت تبدیل مساله طراحی کنترل کننده به مساله بهینه سازی تعریف می‌گردد

$$J = \frac{1}{2} q(t) [\dot{S}(\mathbf{x}, t) + \alpha(t) S(\mathbf{x}, t)]^2 + \frac{1}{2} p(t) u^2(t) \quad (12)$$

² Projection Recurrent Neural Network

¹ Quadratic Programming

با درنظر گرفتن عدم قطعیت سیستم به صورت زیر و محاسبه کران بالای آن طبق (۷) و (۸)، می‌توان شرط لغزش را به صورت زیر باز نویسی کرد، که پایداری حلقه بسته سیستم به ازای برقراری آن خواهد بود

$$\delta(t) = \mathbf{C}(\mathbf{A}D(t) + \dot{D}(t)), \quad |\delta(t)| \leq \Gamma \quad (19)$$

$$\begin{aligned} S(\mathbf{x}, t)(\mathbf{CA}^2\mathbf{x}(t) + \mathbf{CAB}u(t) + \mathbf{CAD}(t) + \\ \mathbf{CD}(t) - \ddot{y}_d + \lambda_1\dot{e}(t) + \lambda_2e(t)) \leq -\gamma |S(x, t)| \end{aligned} \quad (20)$$

با جایگذاری رابطه‌ی خروجی شبکه عصبی تصویر، (۱۶) در (۲۰) ضرباب $\alpha, \gamma, p(t)$ و $q(t)$ به گونه‌ای حاصل می‌گرددند که شرط لغزش را برآورده سازند و برابر هستند با

$$\alpha(t) \geq \frac{\gamma(t) + \Gamma}{|S(\mathbf{x}, t)|} \quad (21)$$

$$\begin{aligned} \gamma \geq \dot{S}(\mathbf{x}, t) + \Gamma - \ddot{y}_d - \mathbf{CAB}u(t) \\ \text{ب} \end{aligned} \quad (21)$$

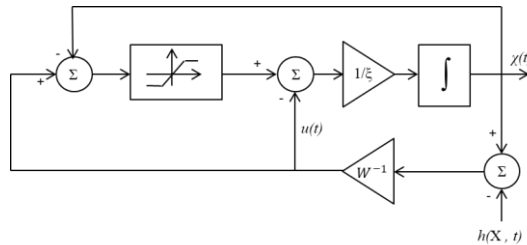
$$\begin{aligned} q(t) \geq \frac{\mathbf{CAB}\mathbf{X}(t) + p(t)[\dot{S}(\mathbf{x}, t) - \mathbf{CAB}u(t) + \Gamma - \ddot{y}_d + \gamma]}{(\mathbf{CAB})^2[\alpha(t)|S(\mathbf{x}, t)| - \Gamma - \gamma(t)]} \\ \text{ب} \end{aligned} \quad (21)$$

$$\begin{aligned} p(t) \geq \frac{\mathbf{CAB}\mathbf{X}(t) + q(t)(\mathbf{CAB})^2[\alpha(t)|S(\mathbf{x}, t)| - \Gamma + \gamma(t)]}{[-\dot{S}(\mathbf{x}, t) + \mathbf{CAB}u(t) + \ddot{y}_d + \gamma]} \\ \text{ت} \end{aligned} \quad (21)$$

با درنظر گرفتن پارامترهای کنترل کننده به صورت (۲۱)، کنترل کننده پیشنهادی نسبت به عدم قطعیت‌ها مقاوم خواهد بود و چون سیگنال کنترلی توسط شبکه عصبی PRNN تولید می‌شود، سیگنال کنترلی فاقد چترینگ خواهد بود. برای عملکرد مناسب کنترل کننده لازم است مقادیر اولیه پارامترها به گونه‌ای انتخاب شود که پایداری سیستم را تضمین نماید.

۳-۳- طراحی کنترل کننده سرعت مدل‌لغزشی کلاسیک و کلیدزنی - حالت توسعه یافته^۳

برای بررسی عملکرد، کنترل کننده پیشنهادی با سه کنترل کننده PI و مدل‌لغزشی (SMC) و کنترل کننده کلیدزنی - حالت توسعه یافته (IS-SC) [۱۹] مقایسه می‌شود و برای عادلانه بودن این مقایسه، مشکل پدیده جمع‌زدگی کنترل کننده PI به روش BCAT^۳ جبران می‌گردد و برای کاهش اثر چترینگ در کنترل کننده مدل‌لغزشی، بجای استفاده از تابع علامت از تابع تائزه‌های پیرولیک استفاده می‌شود، این کنترل کننده مبتنی بر مدل غیر خطی سیستم طراحی می‌گردد و دارای سطح لغزشی مشابه با روش پیشنهادی است. سیگنال کنترلی معادل در این کنترل کننده از برابر با صفر قرار دادن مشتق سطح لغزش حاصل می‌شود و به شرح زیر می‌باشد:



شکل ۳: نمودار بلوکی شبکه عصبی بازگشتی مبتنی بر نظریه تصویر برای حل مساله برنامه سازی درجه دو

باتوجه تک ورودی-تک خروجی (SISO)^۱ بودن مدل موتور مورد استفاده، متغیر بهینه‌سازی مساله QP از نوع اسکالر بوده و در ساختار PRNN تنها یک حالت یا به عبارت دیگر فقط یک سلول وجود خواهد داشت. این امر باعث تسريع بسیار زیاد در همگرایی شبکه خواهد شد. شکل ۳ ساختار این شبکه را نشان می‌دهد. شبکه عصبی PRNN مهواره پایدار لیپانوف است [۲۴]. پایدار بودن این شبکه متناظر با کمینه‌سازی تابع هزینه موردنظر است.

۲-۳- پایداری حلقه بسته

تشکیل سیگنال کنترلی توسط PRNN و مبتنی بر مدل خطی شده موتور بدون وجود اغتشاش استفاده صورت می‌گیرد، این امر باعث حذف چترینگ موجود در سیگنال کنترلی می‌شود. از طرفی، به دلیل مدل استفاده شده در طراحی کنترل کننده، اغتشاش و عدم قطعیت‌های مدل بر همگرایی شبکه عصبی تاثیری نمی‌گذارد. این در حالی است که برای تضمین پایداری حلقه بسته سیستم، و برقرار شدن شرط لغزش، پارامترهای سطح لغزش، براساس آنالیز حلقه بسته پایداری سیستم در حضور عدم قطعیت و اغتشاش سیستم محاسبه می‌گردد.

قضیه [۱۸]. سیستم حلقه بسته متشکل از سیستم (۴) و شبکه عصبی PRNN (۱۴) پایدار است و نسبت به عدم قطعیت D با $|\eta| < |D|$ ، مقاوم است.

اثبات: تابع لیپانوف زیر را درنظر بگیرید

$$v(t) = \frac{1}{2} S^2(\mathbf{x}, t) \quad (16)$$

سیستم حلقه بسته پایدار است، اگر شرط زیر را فراهم کند:

$$S(\mathbf{x}, t)\dot{S}(\mathbf{x}, t) \leq -\gamma |S(\mathbf{x}, t)| \quad (17)$$

که در آن γ بهره سطح لغزش معروفی می‌گردد. مشتق سطح لغزش، با درنظر گرفتن اغتشاش D به صورت زیر خواهد بود:

$$\begin{aligned} \dot{S}(\mathbf{x}, t) = \mathbf{CA}^2\mathbf{x}(t) + \mathbf{CAB}u(t) + \mathbf{CAD}(t) + \\ \mathbf{CD}(t) - \ddot{y}_d + \lambda_1\dot{e}(t) + \lambda_2e(t) \end{aligned} \quad (18)$$

³ Back Calculation and Tracking

¹ Single-Input-Single-Output

² Improved State-Switching Controller (IS-SC)

ε به عنوان معیاری برای مصالحه بین حذف اغتشاش و چترینگ است، هرچه مقدار آن کوچک باشد، حذف اغتشاش بیشتری وجود دارد و به تع آن، ریسک رخ دادن چترینگ بالاتر می‌رود.

$$i_{eq}^2 = \frac{2}{dL(\theta, i)} [T_l + \beta \omega_m + j \dot{\omega}_d - j \lambda_1 (\omega_m - \omega_d) - j \lambda_2 (\theta_m - \theta_d)] \quad (22)$$

در انتها، سیگنال کنترلی مد لغزشی به صورت زیر تعریف می‌گردد:

$$i^2 = i_{eq}^2 - K \tanh(S(\mathbf{x}, t)) \quad (23)$$

با بررسی شرط لغزش (22) و جای گذاری i^2 در آن، مقدار K بدست

$$\frac{2j\gamma}{dL(\theta, i)} \quad \text{است که در آن } \gamma \text{ بهره سطح لغزش} \quad d\theta$$

می‌آید و برابر با $\frac{2j\gamma}{dL(\theta, i)}$ است که در آن γ بهره سطح لغزش می‌باشد. درنهایت سیگنال کنترلی تولید شده توسط کنترل کننده لغزشی به صورت زیر خواهد بود:

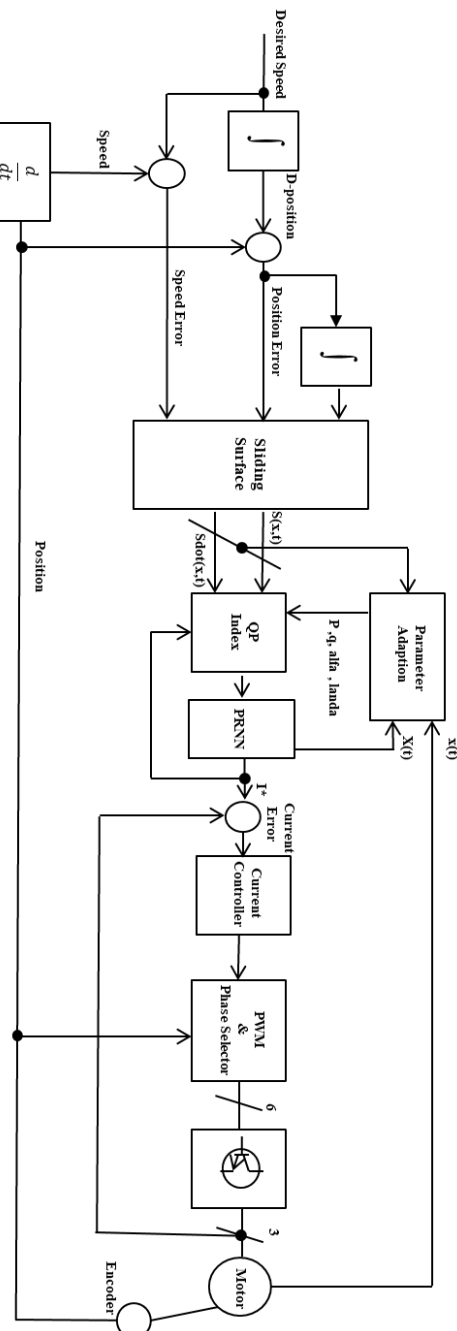
$$i^* = \begin{cases} \sqrt{i_{eq}^2 - K \tanh(S(\mathbf{x}, t))} \\ \operatorname{sgn}[i_{eq}^2 - K \tanh(S(\mathbf{x}, t))] \end{cases} \quad (24)$$

تابع علامت موجود در (24) برای حفظ علامت سیگنال، پس از گرفته شدن جذر است. دیگر کنترل کننده موجود برای بررسی عملکرد روش حاضر، کنترل کننده ارایه شده در [21] است. این کنترل کننده که مبتنی بر الگوریتم مد لغزشی طراحی شده و براساس حداقل و حداقل جریان موتور، سیگنال کنترلی از جنس جریان ایجاد می‌کند. نمودار بلوکی این کنترل کننده در شکل ۵ نشان داده شده است که در آن حلقه داخلی مشابه با سایر روش‌ها از نوع تنااسبی - انگرالی بوده است. سطح لغزش ارایه شده در این روش به صورت زیر است:

$$s = \omega^* - (\omega_m + \lambda \omega_m) \quad (25)$$

که در آن ω^* و ω_m به ترتیب سرعت مطلوب و سرعت موتور و λ بهره شتاب بوده است. سیگنال کنترلی در این روش به صورت زیر معرفی می‌شود:

$$i_k^* = i_{k-1} + k_I \operatorname{sgn}(s) \quad (26)$$



شکل ۴: کنترل کننده پیشنهادی چندحلقه با جزئیات کنترل کننده سرعت

که در آن k_I بیانگر زمان، i_{k-1} جریان لحظه قبل موتور است و k_I به صورت زیر تعریف می‌گردد:

$$k_I = \begin{cases} A & \text{if } s < -\varepsilon \\ B & \text{if } -\varepsilon < s < 0 \\ -B & \text{if } 0 < s < \varepsilon \\ -A & \text{if } s > \varepsilon \end{cases} \quad (27)$$

کردن شرایط شیوه‌سازی به محیط واقعی، اثر کلیدهای قدرت، دیودها، و راهاندازهای کلیدها نیز در نظر گرفته شده است.

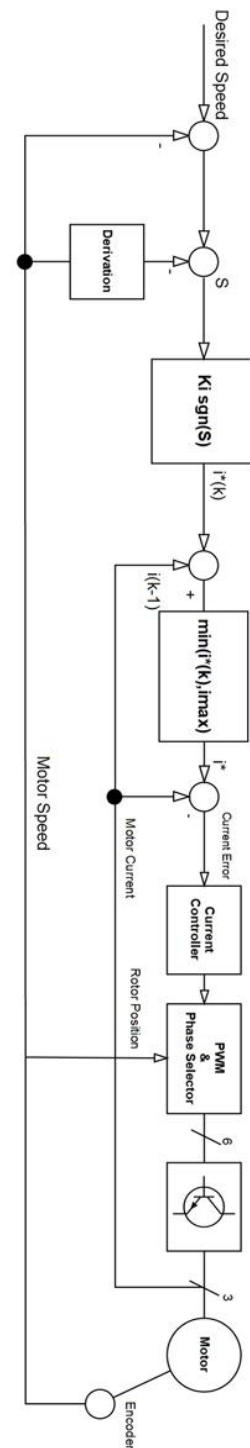
جدول ۱: مشخصات موتور مورد استفاده در شیوه‌سازی

مشخصه	مقدار	واحد
مقاومت سیم پیچ ها	۲.۳	Aham
اینرسی روتور	۰.۰۰۰۱	Kg.m.m
اصطکاک	۰.۰۰۰۱	N.m.s
اندوکتانس ناهمراستا	۴.۸	mH
اندوکتانس هم راستا	۲۷	mH
حداکثر جریان موتور	۳	Amper
ولتاژ نامی	۲۴	Volt
کمان قطب استاتور	۳۰	درجه
کمان قطب روتور	۳۲	درجه
تعداد حلقه در هر سیم پیچ	۲۰۰	عدد

دو آزمایش مختلف برای بررسی پاسخ گذرا و ماندگار و مقاومت سیستم نسبت به اختشاش خارجی وجود دارد. در آزمایش اول، دو سرعت مختلف به عنوان سرعت مطلوب به کنترل کننده‌ها اعمال شده و اثر مجموع گشتاور فازها و سیگنال کنترلی مورد بررسی قرار می‌گیرد، لازم به ذکر است که تمامی کنترل کننده‌ها براساس سرعت مطلوب اول تنظیم شده‌اند. در آزمایش دیگر پس از به حالت ماندگار رسیدن سرعت موتور، گشتاور باری به صورت اختشاش به موتور اعمال می‌شود.

شکل ۶ پاسخ سیستم در رسیدن به سرعت‌های مطلوب ۱۰۰ و ۱۲۰ دور بر دقیقه را نشان می‌دهد. همانگونه که مشخص است، کنترل کننده SMC IS-SC فراجهشی در حدود ۱ درصد دارد، در حالی که کنترل کننده‌های OSMC و مد لغزشی بهینه (OSMC)^۱ بدون فراجهش خود را به مقدار مطلوب رسانده‌اند. پرش سرعت در حالت ماندگار، به ازای عبور قطب‌های روتور و استاتور از زیر یکدیگر و گشتاور تولید شده به ازای آن می‌باشد به گونه‌ای که در حدود هر ۰.۱۵ ثانیه یک قطب عبور می‌کند. پرش سرعت در این فاصله زمانی در کنترل کننده SMC قابل مشاهده است در حالی است که سایر روش‌ها این مقدار پرش سرعت کاهش پیدا کرده است.

شکل ۷ گشتاور تولیدی موتور را در آزمایش اول نشان می‌دهد. همانگونه که مشخص است، در حالت ماندگار، OSMC و OSMC IS-SC گشتاور را به مقدار بسیار زیادی نسبت به سایر روش‌ها کاهش داده است.

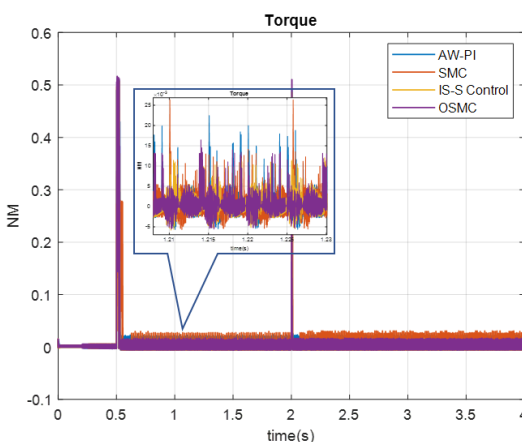


شکل ۵ نمودار بلوکی کنترل سرعت با وجود کنترل کننده IS-SC [۱۹]

۴- نتایج شیوه‌سازی و تحلیل نتایج

به منظور نشان دادن عملکرد روش‌های پیشنهاد شده در این مقاله، شبیه‌سازی‌های کامپیوتری بر روی موتور سویچ‌لولو کتانس ۶/۴ با استفاده از کتابخانه Simscape مطلب و با پارامترهای موتور واقعی [۲۵] انجام شده است، این پارامترها در جدول ۱ نشان داده شده است. همچنین برای نزدیک

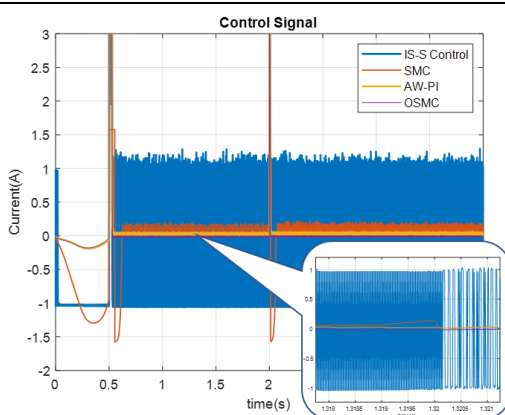
^۱ Optimal Sliding-Mode Controller



شکل ۶: نمودار سیگنال گشتاور تولید شده
جدول ۲: نتایج شیوه‌سازی آزمایش اول

	حداکثر چترینگ	میانگین مطلق چترینگ	ریپل	روش
در سیگنال	فرجهش زمان استقرار سیگنال	گشتاور	کنترلی	توانی
کنترلی	سرعت (%)(میلی ثانیه)	کنترلی	کنترلی	(جریان)
				(NM)

-	۰/۰۵	۴۱	۰	۰/۰۲۲	AW-PI
دارد	۲/۰۶	۱۷۰	۱	۰/۰۴	SMC
ندارد	۰/۰۱۳	۳۱	۰	۰/۰۱۲	OSMC
به شدت دارد	۱/۰۱۹۱	۳۵	۰	۰/۰۱۵	IS-SC

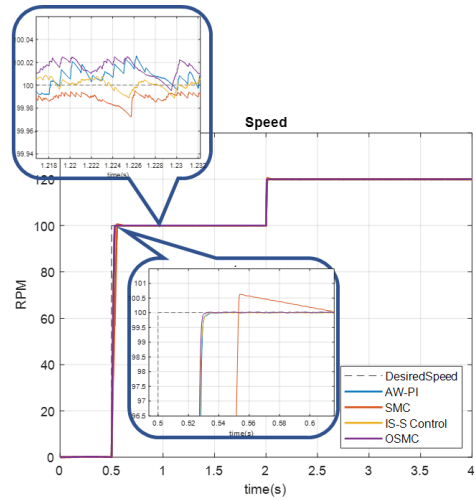


شکل ۷: سیگنال‌های کنترلی

همانطور که مشخص است، کنترل کننده IS-SC به ازای رسیدن به پاسخی نزدیک به پاسخ کنترل کننده OSMC، سیگنال کنترلی تولید کرده که دارای چترینگ بسیار بوده و نسبت به سایر روش‌ها از دامنه بیشتری برخوردار است. جدول ۳ خلاصه نتایج آزمایش دوم را در قالب گزارش‌های عددی به عنوان معیارهای بهینگی سیگنال کنترلی و وجود چترینگ در آن ارایه می‌کند.

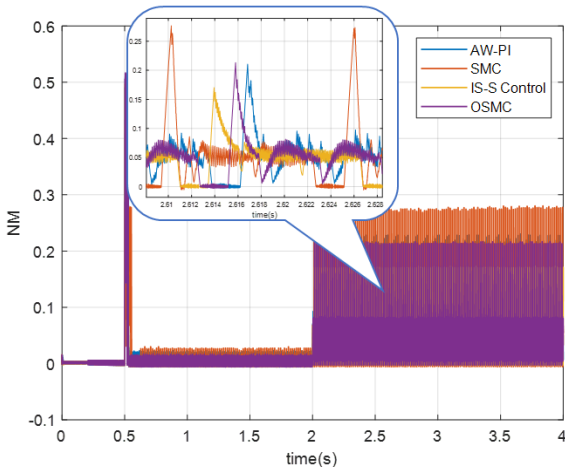
جدول ۲ حداکثر مقادیر ریپل گشتاور و سایر نتایج دیگر را نشان می‌دهد. در سیگنال کنترلی (شکل ۸) طبق انتظار پدیده چترینگ و بهره‌ی بالا در کنترل کننده SMC و IS-SC وجود دارد در حالی هیچ کدام از این مشکلات مطرح شده در کنترل کننده پیشنهادی وجود ندارد. مقادیر چترینگ و در کنترل کننده IS-SC به مرتب بیشتر از سایر کنترل کننده‌ها بوده، این امر به دلیل مقدار \mathcal{E} در نظر گرفته شده است که حذف اغتشاش و کاهش ریپل مناسبی را بدست دهد. در این کنترل کننده، $\mathcal{E} = 1$ و کنترل کننده به ازای تغییر سطح لغزش به اندازه یک دور در دقیقه واکنش نشان می‌دهد. این امر موجب کاهش ریپل گشتاور و مقاومت بالا شده اما سیگنال کنترلی حاصل شده به شدت دارای چترینگ است و مقدار بهره‌ی بالایی دارد. لازم به ذکر است که هرسه کنترل کننده لغزشی طراحی شده، شرط لغزش را در حالت ماندگار برآورده می‌کنند.

آزمایش دیگر افزودن گشتاور بار به صورت اغتشاش می‌باشد در حالی که موتور در سرعت ثابت ۱۰۰ RPM قرارداده، گشتاور 0.05 Nm در ثانیه دوم شیوه‌سازی به موتور اعمال می‌شود (شکل ۹). گشتاور تولیدی موتور در شکل ۱۰ نمایش داده شده است. پرش گشتاور پس از افزودن بار در تمامی روش‌ها قابل مشاهده است.

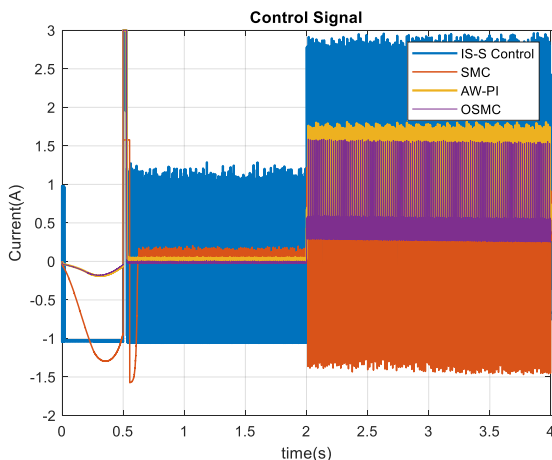


شکل ۸: سیگنال سرعت موتور به ازای تغییر سرعت مطلوب

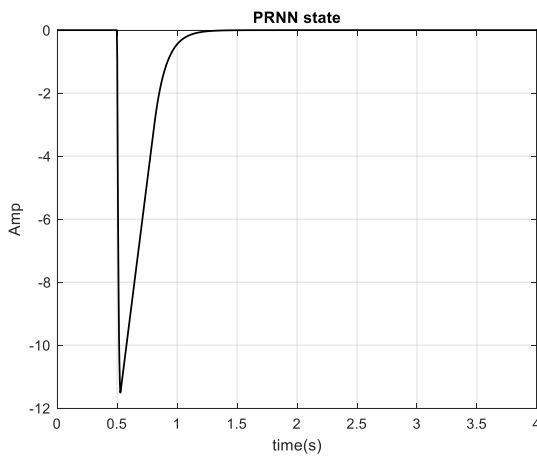
همانطور که در شکل ۱۰ مشخص است، ریپل گشتاور در لحظات کم تاسیون، به ازای روش IS-SC کمترین مقدار خود را دارد، در حالی که شکل موج تولید شده دو روش SMC و IS-SC مشابه هم است. سیگنال کنترلی تولید شده در شکل ۱۱ نمایش داده شده است. در این سیگنال به دلیل وجود پرش در سیگنال بازخوردی سرعت، سیگنال کنترلی در دو کنترل کننده PI و OSMC نیز تا حدودی دچار پرش شده است. این در حالی است که حالات شبکه عصبی PRNN بدون نوسان به مقدار بهینه خود رسیده‌اند (شکل ۱۲).



شکل ۹: (آ) سیگنال گشتاور (ب) بزرگنمایی شده سیگنال گشتاور پس از افزوده شدن بار



شکل ۱۰: سیگنال‌های کنترلی

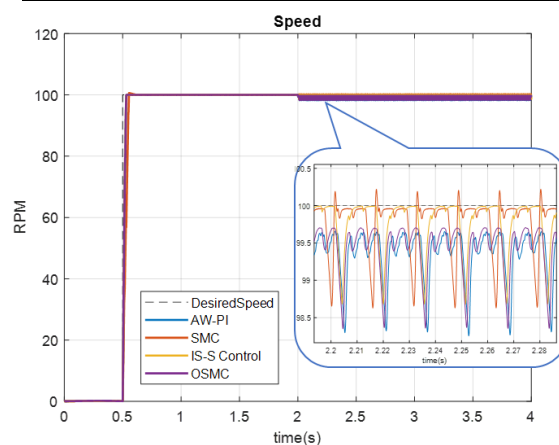


شکل ۱۱: حالات شبکه PRNN در کنترل کننده OSMC

کنترل کننده IS-SC دارای عملکردی مناسب و نزدیک به OSMC در عبارات سرعت پاسخ و کاهش ریپل گشتاور بود اما سیگنال کنترلی تولید شده، فاقد بهینگی بوده و دارای چتربنگ بسیار زیادی می‌باشد که پیاده‌سازی عملی آنرا برای گرفتن نتایج مشابه، عمل غیرممکن می‌کند. کنترل کننده مد لغزشی در عبارات سرعت پاسخ، و کاهش ریپل گشتاور

جدول ۳: خلاصه نتایج آزمایش دوم شبیه‌سازی

روش کنترل (RPM)	سیگنال کنترل				
واریانس	واریانس	واریانس	واریانس	واریانس	واریانس
۰/۰۰۱۴	۰/۱۲	۰/۶۸	۰/۱۲	۹۹/۴	AW-PI
۰/۰۰۳	۴	۰/۶۸	۰/۱۹	۹۹/۸	SMC
۰/۰۰۱۱	۰/۱	۰/۵	۰/۱۱	۹۹/۴	OSMC
۰/۰۰۹۵	۱/۰۶۷۴	۰/۸	۰/۱۲۶۹	۹۹/۷۷۰۸	IS-SC



شکل ۱۲: سرعت موتور به ازای اضافه گشتوار بار ۰/۰۵ Nm در دومین ثانیه شبیه‌سازی

۵- نتیجه گیری

در این مقاله با استفاده از کنترل کننده بهینه لغزشی کنترل سرعت موتور سویچ‌رلوک تانس و کاهش ریپل گشتاور آن فرآمhem شده است. در کنترل کننده بهینه لغزشی، مساله تولید سیگنال کنترلی مد لغزشی به مساله بهینه‌سازی در فضای متغیر جستجوی سیگنال کنترلی تبدیل می‌شود و با حل بلادرنگ این مساله با استفاده از شبکه عصبی، سیگنال کنترلی بدون چتربنگ و مقیدی حاصل می‌گردد. استفاده از این کنترل کننده به عنوان کنترل کننده سرعت در ساختار آبشاری، کنترل کننده‌ای حاصل می‌شود که نه تنها مقاوم و بهینه است بلکه در کنار کنترل سرعت موتور، ریپل گشتاور آن را کاهش می‌دهد. اثربخشی روش پیشنهادی در شبیه‌سازی‌های نزدیک به واقعیت نسبت به سایر روش‌ها بررسی شد.

- [11] T. Husain, A. Elrayyah, Y. Sozer, and I. Husain, "Unified control for switched reluctance motors for wide speed operation," *IEEE Transactions on Industrial Electronics*, vol. 66, no. 5, pp. 3401-3411, 2019.
- [12] A. Krasovsky, E. Vostorgina, and S. Kuznetsov, "Simulation of the linearized closed-loop torque control for switched reluctance motor," *26th International Workshop on Electric Drives: Improvement in Efficiency of Electric Drives (IWED)*, Moscow, Russia, 2019.
- [13] N. Yan, X. Cao, and Z. Deng, "Direct Torque control for switched reluctance motor to obtain high torque–ampere ratio," *IEEE Transactions on Industrial Electronics*, vol. 66, no. 7, pp. 5144-5152, 2019.
- [14] R. Moeini, M. Rafiee, and E. Afjei, "Low cost torque ripple reduction in SRM utilizing resonance phenomenon in order to optimize the current and torque profile," *EPE Journal*, vol. 25, no. 3, pp. 37-47, 2015.
- [15] J.-J. E. Slotine, and W. Li, *Applied Nonlinear Control*, Prentice Hall, New Jersey, 1991.
- [16] M. P. Aghababa, and M. E. Akbari, "A chattering-free robust adaptive sliding mode controller for synchronization of two different chaotic systems with unknown uncertainties and external disturbances," *Applied Mathematics and Computation*, Vol. 218, No. 9, pp. 5757-5768, 2012.
- [17] M. Roopaei, and M. Z. Jahromi, "Chattering-free fuzzy sliding mode control in MIMO uncertain systems," *Nonlinear Analysis*, vol. 71, no. 10, pp. 4430-4437, 2009.
- [18] H. Toshani and M. Farrokhi, "Optimal sliding-mode control of linear systems with uncertainties and input constraints using projection neural network," *Optimal Control Applications and Methods*, vol. 39, no. 2, pp. 963-980, 2018.
- [19] S. M. Lukic and A. Emadi, "State-switching control technique for switched reluctance motor drives: Theory and implementation," *IEEE Transactions on Industrial Electronics*, vol. 57, no. 9, pp. 2932-2938, 2010.
- [20] M. Divandari, B. Rezaie and A. R. Noei, "Speed control of switched reluctance motor via fuzzy fast terminal sliding-mode control," *Computers & Electrical Engineering*, no. 80, pp. 106472, 2019.
- [21] J. Gao, H. Sun, Y. Dong and L. He, "Gao, J., Sun, H., Dong, Y., & He, L. (2011, July). RBF Neural Network SMC design and torque ripple optimization research for switched reluctance motor," *30th Chinese Control Conference*, Yantai, China, 2011.
- [22] R. Abdel-Fadil and L. Szame, "Instantaneous Torque Control of the Switched Reluctance Motor for Electric Vehicles Applications Using Fuzzy

نسبت به سایر روش‌ها ضعیف عمل کرده در حالی که با بالابردن بهره کنترلی آن، چترینگ هم بیشتر شده و عبارت ریل گشتاور نسبت به حالت قبل بدتر شده است. طبق نتایج حاصل شده، کنترل کننده PI نیز از نظر بهینگی، و کاهش ریل گشتاور، نسبت به کنترل کننده OSMC ضعیف عملکرده است.

مراجع

- [1] R. Krishnan, *Switched Reluctance Motor Drives: Modeling, Simulation, Analysis, Design, and Applications*, CRC press, Boca Raton, 2001.
- [2] P. Trung Hieu, D.-H. Lee, and J.-W. Ahn, "Design and control of a high speed 2-phase 4/2 switched reluctance motor for blender application," *Journal of Electrical Engineering & Technology*, vol. 14, no. 3, pp. 1193-1199, 2019.
- [3] B. M. Dehkordi, A. Parsapoor, M. Moallem, and C. Lucas, "Sensorless speed control of switched reluctance motor using brain emotional learning based intelligent controller," *Energy Conversion and Management*, vol. 52, no. 1, pp. 85-96, 2011.
- [4] M. Qutubuddin and N. Yadaiah, "Modeling and implementation of brain emotional controller for Permanent Magnet Synchronous motor drive," *Engineering Applications of Artificial Intelligence*, vol. 60, pp. 193-203, 2017.
- [5] N. Saha, A. Panda, and S. Panda, "Speed control with torque ripple reduction of switched reluctance motor by many optimizing liaison technique," *Journal of Electrical Systems and Information Technology*, vol. 5, no. 3, pp. 829-842, 2018.
- [6] N. Saha and S. Panda, "Speed control with torque ripple reduction of switched reluctance motor by Hybrid Many Optimizing Liaison Gravitational Search technique," *Engineering Science and Technology, an International Journal*, vol. 20, no. 3, pp. 909-921, 2017.
- [7] S. Paramasivam and R. Arumugam, "Hybrid fuzzy controller for speed control of switched reluctance motor drives," *Energy Conversion and Management*, vol. 46, no. 9, pp. 1365-1378, 2005.
- [8] A. V. Sant and K. Rajagopal, "PM synchronous motor speed control using hybrid fuzzy-PI with novel switching functions," *IEEE Transactions on Magnetics*, vol. 45, no. 5, pp. 4672-4675, 2009.
- [9] K. Premkumar and B. Manikandan, "Fuzzy PID supervised online ANFIS based speed controller for brushless dc motor," *Neurocomputing*, vol. 157, pp. 76-90, 2015.
- [10] Z. Omac, "Fuzzy-logic-based robust speed control of switched reluctance motor for low and high speeds," *Turkish Journal of Electrical Engineering & Computer Sciences*, vol. 27, no. 1, pp. 316-329, 2019.

Logic Control”, *Acta Technica Jaurinensis*, vol. 12, no. 2, pp. 101-116, 2019.

- [23] A. Azadru, S. Masoudi, R. Ghanizadeh and P. Alemi, “New adaptive fuzzy sliding mode scheme for speed control of linear switched reluctance motor”, *IET Electric Power Applications*, vol. 13, no. 8, pp. 1141-1149, 2019.
- [24] S. Liu, and J. Wang, “A simplified dual neural network for quadratic programming with its KWTA application,” *IEEE Transactions on Neural Networks*, vol. 17, no. 6, pp. 1500-1510, 2006.
- [25] S. Alireza, R. Mehran, M. Rana, and A. Ebrahim, "Maximum current tracking in switched reluctance motor converters," *International Research Journal of Applied and Basic Sciences*, vol. 5, no. 11, 2013.